

Eletrodos de Carbono Cerâmico Modificados com Óxido Misto de Estanho e Nióbio com Potencial Aplicação como Sensores Eletroquímicos

Juliane Ciórcero, Guilherme Bonifácio Rosa, Christiana A. Pessoa*

Universidade Estadual de Ponta Grossa, Departamento de Química, Campus Uvaranas, Praça Santos Andrade 01, Centro, CEP 84030-000, Ponta Grossa-PR, Brasil.

christiana.pessoa@pq.cnpq.br

Material Suplementar

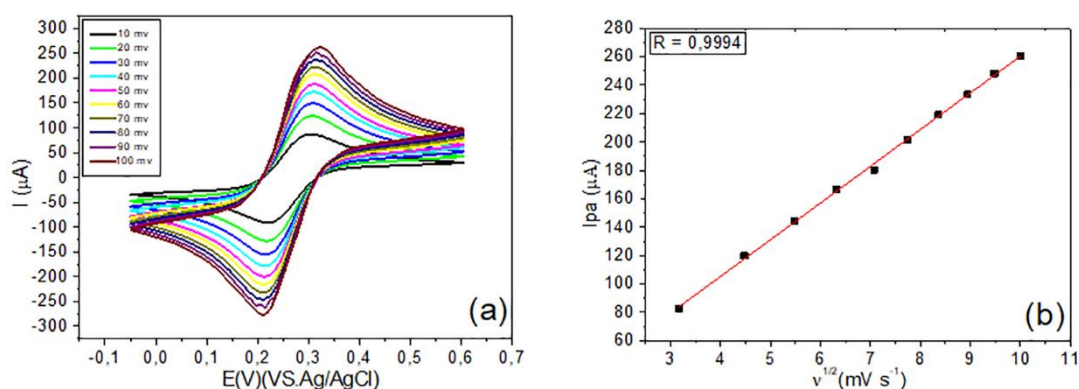


Figura S1. (a) Voltamogramas cíclicos para o ECC/SiO₂-SnO₂ realizados na presença de 5,0 mmol [Fe(CN)₆]^{3-/4-}, com a velocidade de varredura (v) variando entre 10 a 100 mVs⁻¹, (b) Gráfico de I_{pa} vs v^{1/2}

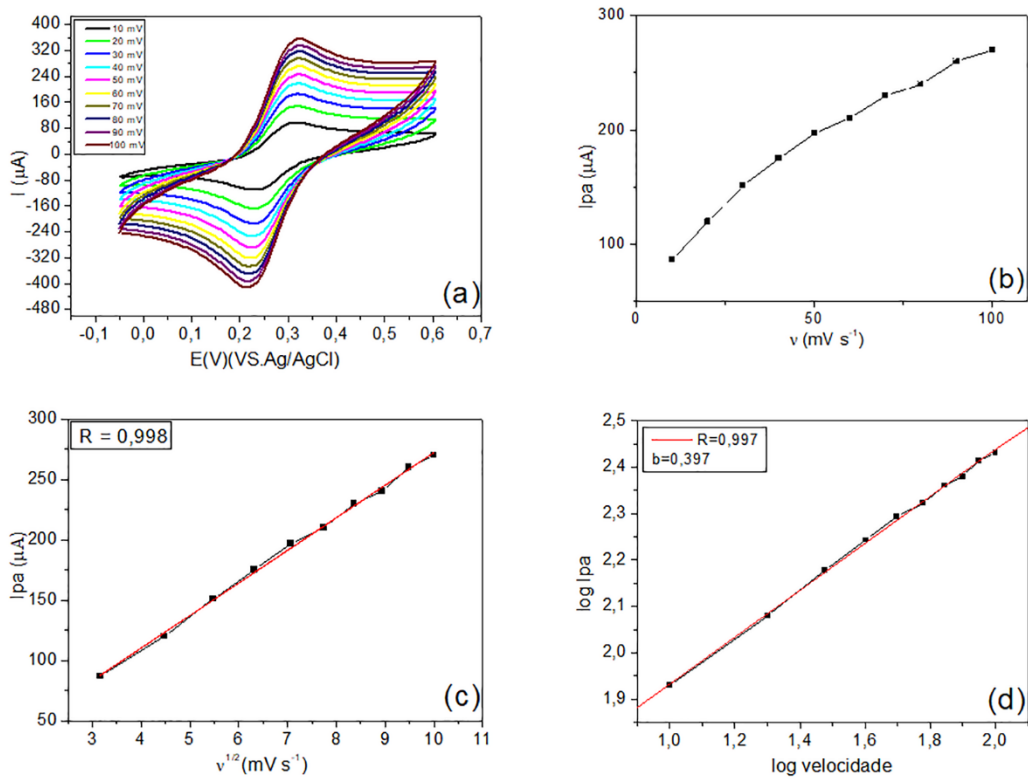


Figura S2. (a) Voltamogramas cíclicos para o ECC/SiO₂-Nb₂O₅ realizados na presença de 5,0 mmol [Fe(CN)₆]^{3-/4-}, com a velocidade de varredura (*v*) variando entre 10 a 100 mVs⁻¹, (b) Gráfico de *I*_{pa} vs *v* (c) *I*_{pa} vs *v*^{1/2} (d) log *I*_{pa} vs log *v*

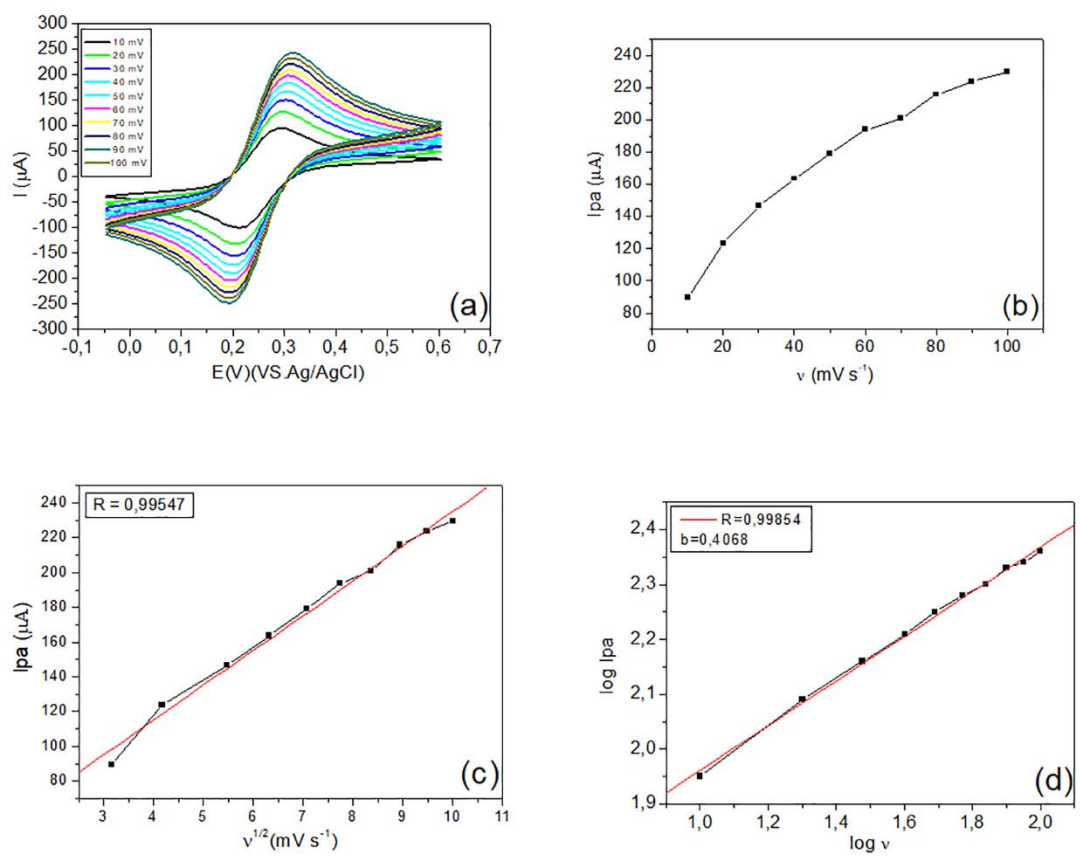


Figura S3. (a) Voltamogramas cíclicos obtidos para ECC/SiO₂-SnO₂-Nb₂O₅ realizados na presença de 5,0 mmol [Fe(CN)₆]^{3-/4-}, com a velocidade de varredura (v) variando entre 10 a 100 mVs⁻¹, (b) Gráfico de I_{pa} vs v (c) I_{pa} vs $v^{1/2}$ (d) $\log I_{pa}$ vs $\log v$